

02; 06.2

© 1992

К ВОПРОСУ О РАДИАЦИОННОЙ СТОЙКОСТИ ПЛАНАРНЫХ ДЕТЕКТОРОВ НА ОСНОВЕ ВЫСОКООМНОГО КРЕМНИЯ

Е.М. В е р б и ц к а я, В.К. Е р е м и н,
 А.М. И в а н о в, Н.Б. С т р о к а н, А.Н. Д ю м и н,
 В.М. Л е б е д е в

В последнее время в спектрометрии ионов полупроводниковыми детекторами удалось достичь уровня точности, близкого к теоретически возможному для используемого "ионизационного" принципа регистрации [1, 2]. Действительно, для современных Si детекторов, выполненных по планарной технологии, разрешающая способность по энергии обусловлена в основном фундаментальными процессами взаимодействия ионов с веществом. Разрешение определяется флуктуациями энергии при упругом рассеянии ионов на ядрах Si и флуктуациями потерь энергии ионами в неизбежном входном окне детектора.

Применение прецизионных Si детекторов при анализе состава ядерного топлива [3] и в особенности в методиках микроанализа на пучках ускоренных ионов [4] связано со значительными интегральными нагрузками. В этой связи возникает вопрос о радиационной стойкости детекторов в целом и особенностях деградации их характеристик.

В работе [5] и последующих наблюдениях нами отмечалось, что наиболее чувствительным параметром детекторов является обратный ток. Этого и следовало ожидать, так как в планарных структурах исходные значения токов малы ($\approx 1 \text{ нA}$) и соответствуют временам жизни носителей заряда $\tau \approx 10 \text{ мс}$. Что касается амплитуды сигнала, то для ее формирования с дефицитом менее 10^{-3} достаточно $\tau \geq 10 \text{ мкс}$.

В настоящем сообщении приводятся результаты воздействия на планарные детекторы монохроматических α -частиц с энергией $E_\alpha = 5.5 \text{ МэВ}$ (^{238}Pu) и дейtronов. В последнем случае форма энергетического спектра соответствовала резерфордовскому обратному рассеянию (POP) дейtronов с $E_\alpha = 0.9 \text{ МэВ}$ от пленки Та. Тем самым воспроизводились условия микроанализа посредством техники POP, либо мгновенных ядерных реакций на дейtronах (например, $^{16}O(\alpha, \gamma)^{14}N$, важной при измерениях распределения кислорода в ВТСП-пленках [6]).

1. По отношению к α -частицам в дополнение к ранее полученным данным [5] была определена величина приращения обратного тока в расчете на одну падающую частицу. В этих опытах детектор тщательно диафрагмировался ($\phi 1 \text{ мм}$), чтобы исключить попадание частиц на периферию, защищенную стабилизирующего окисла. Таким образом, обеспечивались условия, в которых изменения

тока обусловливались объемными свойствами Si . Фиксировалось возрастание тока во времени в ходе облучения α -частицами ^{238}Pu с интенсивностью $\approx 10^6 \text{ a/cm}^2 \cdot \text{s}$. Скорость счета определялась непосредственно детектором. Типичная зависимость, демонстрирующая линейное приращение тока в зависимости от дозы $\Delta I = k\Phi$ (где Φ - доза облучения), приведена на рис. 1. Полученное значение коэффициента $k = 4.52 \cdot 10^{-8} \text{ nA}/\alpha$ по порядку величины согласуется с [7], однако в [7] зависимость $\Delta I(\Phi)$ имела степенной характер. Отметим также, что в наших опытах использовался $n-Si$ как отечественного производства, так и фирмы *Wacker*, и различия обнаружено не было.

2. При облучении дейtronами, как отмечалось ранее, спектр был сплошным с плавным возрастанием интенсивности в области энергий, близких к нулю, в 2 раза по сравнению с $E_\alpha \approx 0.9 \text{ MeV}$. В результате дефекты структуры создавались на всей глубине слоя Si протяженностью 10 мкм с преобладанием их концентрации в приповерхностных областях. В диапазоне доз (1.10^9 – $1.10^{11} d/\text{cm}^2$) определялись токи и шумы, воздействие на них низкотемпературного отжига, а также результирующее разрешение по α -частям ^{238}Pu .

На рис. 2, а приведено изменение характеристик при промежуточной дозе $2 \cdot 10^{10} d/\text{cm}^2$. Видно, что ток детектора возрос более чем в 2 раза¹, но уровень шума δ_N остался приемлемым и составил 5 кэВ при обратном напряжении $V = 20 \text{ V}$, т.е. возрос лишь на 25%. В этих условиях толщина рабочей зоны детектора была более 50 мкм, что достаточно для спектрометрии α -частиц – продуктов реакций и рассеянных дейtronов. Разрешающая способность по α -частям за вычетом шума δ_0 оказалась равной 9.1 кэВ, что практически совпало с исходным значением. Особенностью является полная потеря структуры спектра при $V < 8 \text{ V}$. В дальнейшем с увеличением напряжения разрешающая способность δ_α быстро восстанавливалась и оставалась постоянной и близкой к исходной, несмотря на рост тока и шума детектора.

При больших дозах $\approx 1 \cdot 10^{11} d/\text{cm}^2$ нами изучалась возможность восстановления характеристик детектора путем отжига. При этом использовались структуры большей площади, однако они имели „толстое“ входное окно и, соответственно, разрешение δ_α на уровне 25 кэВ.

На рис. 2, б приведены зависимости величины шума от постоянной времени формирования сигнала θ после двух стадий изохронного (30 мин) отжига. Следует отметить, что уже отжиг при $T = 150^\circ\text{C}$ снижает токи примерно в 3 раза. При этом при напряжениях 20–30 В $\delta_N(\theta)$ проходит через минимум, что отражает конкурентный характер емкостной (малые θ) и токовой (большие θ)

¹ Отметим, что приращение тока составило при этом $\approx 10^{-8} \text{ nA}/\alpha$, т.е. в ≈ 5 раз меньше, чем в случае α -частии. Последнее следует связать с большим дефектообразованием в Si под действием α -частии (большие энергия и масса).

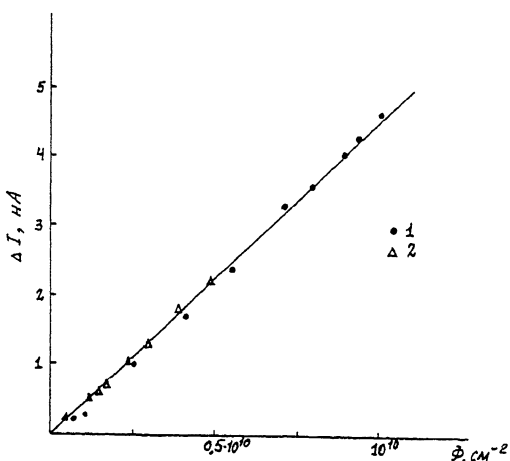


Рис. 1. Зависимость приращения обратного тока планарных детекторов от дозы облучения α -частицами ^{238}Pu . Исходный δi : 1 – фирмы *Wacker*, 2 – отечественный. Периферия детекторов защищена диафрагмой.

θ), составляющих шум. Если же напряжением на детекторе развить большие токи (кривая 1'), то происходит линейное возрастание шума с θ . Минимальная величина $b_N \approx 7.5$ кэВ, достигнутая после отжига при 300°C , незначительно уступает исходному шуму 6.5 кэВ. Что касается разрешения, то его величина оставалась неизменной в ходе отжигов и совпадала с начальным значением ≈ 25 кэВ.

В итоге продемонстрирована радиационная стойкость детекторов из высокоомного кремния, достаточная для проведения на пучках ионов (α -частиц и дейtronов) как минимум 10 циклов измерений по анализу элементного состава типовых твердотельных объектов.

Авторы приносят благодарность Ю.Г. Лукьяннову за помощь в измерениях.

Список литературы

- [1] Вербижская Е.М., Еремин В.К., Маляренко А.М., Строкан Н.Б., Суханов В.Л., Барани И., Шмидт Б. // ПТЭ. 1991. № 3. С. 56–61.
- [2] Maisch T., Gunzler R., Weiser M., Kalbitzer S., Weiser W., Kemmer J. // Nucl. Instr. and Meth. 1990. V. A288. P. 19–23.
- [3] Еремин В.К., Медведев Л.С., Родионов Ю.Ф., Строкан Н.Б., Яшин Ю.А. Препринт ИАЭ, № 4914/14, М., 1989, 12 с.

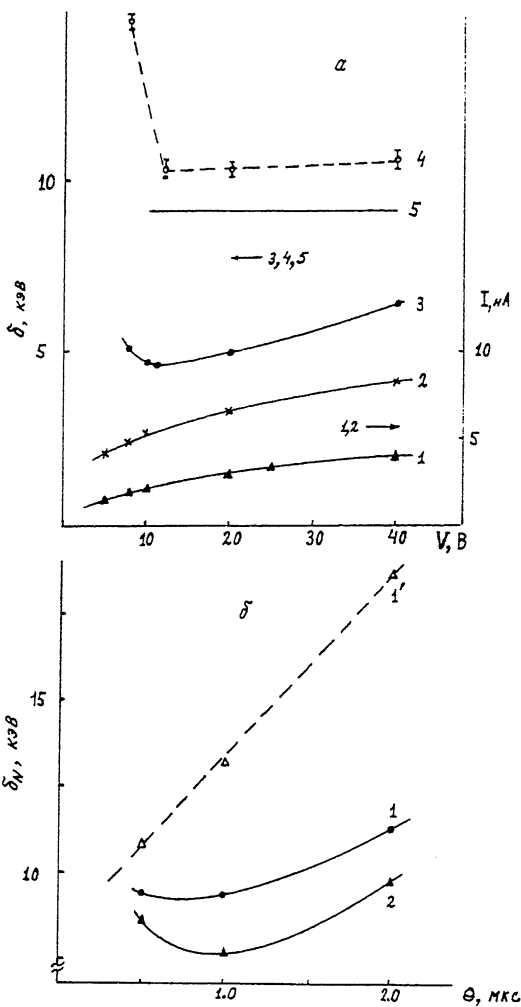


Рис. 2. Характеристики детекторов, облученных дейtronами.

а - $\Phi = 2 \cdot 10^{10} d/cm^2$. Площадь детектора $10 mm^2$. Зависимости от обратного напряжения: 1, 2 - ток до и после облучения соответственно; 3 - шум; 4 - разрешение по α -частицам; 5 - то же за вычетом шума, $\theta = 1 \mu s$.

б - $\Phi = 1 \cdot 10^{11} d/cm^2$. Площадь детектора $25 mm^2$. Зависимость шума от постоянной времени формирования θ после двух стадий отжига в течение 30 мин: $I - I' - T = 150^\circ C$, $I = 45$ нА при $V = 25$ В и $I = 220$ нА при $V = 75$ В соответственно; 2 - $T = 300^\circ C$, $I = 15$ нА при $V = 30$ В.

- [4] Еремин В.К., Вербицкая Е.М., Конников С.Г.,
Медведев Л.С., Строкан Н.Б. // Письма в ЖТФ.
1992. Т. 18. В 6. С. 91-94.
- [5] Вербицкая Е.М., Еремин В.К., Иванов А.М.,
Игнатенко Е.С., Строкан Н.Б., Туребеков У.Ш.,
Борани И., Шмидт Б. // ФТП. 1991.
Т. 25. В. 5. С. 852-858.
- [6] Вербицкая Е.М., Греков И.В., Еремин В.К.,
Конников С.Г., Линийчук И.А., Разумов С.В.,
Семчинова О.К., Строкан Н.Б., Дюмин А.Н.,
Лебедев В.М. // Сверхпроводимость. ФХТ. 1992. № 9.
С. 1673-1680.
- [7] Bischoff L., von Borany J., Mor-
gendtern H., Schmidt B., Schubert. Prepr. ZfK-579, Dresden, 1986. 34 p.

Физико-технический
институт им. А.Ф. Иоффе
РАН, С.-Петербург
Институт ядерной физики
им. Б.П. Константинова
РАН, С.-Петербург

Поступило в Редакцию
3 ноября 1992 г.